

1. Considere o diagrama de blocos de um sistema de controlo representado na fig. 1. Sejam s e \mathcal{L} , respectivamente a variável e o operador de Laplace, $R(s) = \mathcal{L}[r(t)]$ e $Y(s) = \mathcal{L}[y(t)]$, respectivamente, as transformadas de Laplace do sinais de entrada e de saída, e sejam $G_i(s)$, $i = 1, \dots, 6$, funções de transferência. A função de transferência $\frac{Y(s)}{R(s)}$ vem:

- (a) $\frac{Y(s)}{R(s)} = \frac{G_1 G_2 G_3}{1 + G_1 G_2 G_3 G_5 \left(G_4 + \frac{1}{G_2 G_3} \right)}$ ✓
 (b) $\frac{Y(s)}{R(s)} = \frac{G_1 G_2 G_3}{1 + G_1 G_2 G_3 G_5 (G_4 + 1)}$
 (c) $\frac{Y(s)}{R(s)} = \frac{G_1 G_2 G_3}{1 + G_1 G_2 G_3 G_4 G_5 \left(1 + \frac{1}{G_2 G_3} \right)}$
 (d) Outro resultado

2. Considere o sistema hidráulico representado na Fig. 2. Os símbolos A , R , q e h representam, respectivamente, áreas dos reservatórios, resistências hidráulicas, caudal e altura. O correspondente modelo matemático vem:

- (a) A) $q_i = A_1 \dot{h}_1 + q_1$, $h_1 = R_1 q_1$, $q_1 = A_2 \dot{h}_2 - q_1 + q_2$, $h_2 - h_1 = R_2 q_2$, $q_2 = A_3 \dot{h}_3 + q_0$, $h_3 = R_3 q_0$
 (b) B) $q_i = A_1 \dot{h}_1 + q_1$, $h_1 - h_2 = R_1 q_1$, $q_1 = A_2 \dot{h}_2 + q_2$, $h_2 = R_2 q_2$, $q_2 = A_3 \dot{h}_3 + q_0$, $h_3 = R_3 q_0$ ✓
 (c) A) $q_i = A_1 \dot{h}_1 - q_1$, $h_1 = R_1 q_1$, $q_1 = A_2 \dot{h}_2 - q_2$, $h_1 - h_2 = R_2 q_2$, $q_2 = A_3 \dot{h}_3 + q_0$, $h_2 - h_3 = R_3 q_0$
 (d) Outro resultado

3. Considere a resposta temporal $c(t)$ de um sistema de segunda ordem descrito pela função de transferência $\frac{C(s)}{U(s)} = \frac{K \omega_n^2}{s^2 + 2\zeta \omega_n s + \omega_n^2}$ e um sinal de entrada $u(t)$ em degrau unitário. Sejam s e \mathcal{L} , respectivamente a variável e o operador de Laplace, sejam $U(s) = \mathcal{L}[u(t)]$, $C(s) = \mathcal{L}[c(t)]$. Na resposta temporal obtém-se um tempo de pico $t_p = 1$, um valor do pico $c(t_p) = 0.5$ e um valor em regime permanente $c_{ss} = 0.3$. Assim, pode concluir-se que:

- (a) $\zeta = 0.239$, $\omega_n = 4.102$ (b) $\zeta = 0.128$, $\omega_n = 3.168$ ✓ (c) $\zeta = 0.098$, $\omega_n = 1.988$ (d) Outro resultado

4. Considere a resposta temporal em regime permanente (steady-state) de um sistema em malha fechada. A função de transferência na malha directa é dada por $G(s) = \frac{2}{s^2 + 2s + 9}$ e a realimentação é unitária $H(s) = 1$. Considere um sinal de entrada $r(t) = t$, $t \geq 0$, em rampa unitária. Seja o erro da resposta temporal do sistema em malha fechada dado por $e(t) = r(t) - c(t)$. Então, o erro em regime permanente (steady-state) e_{ss} à rampa unitária vem:

- (a) $e_{ss} = 0$ (b) $e_{ss} \rightarrow \infty$ ✓ (c) $e_{ss} = 1$ (d) Outro resultado

5. Considere um sistema com função de transferência em malha aberta $G(s) = K \frac{(s+3)(s+4)}{(s+1)(s+2)}$ e o respectivo lugar de raízes directo. O ponto σ de intersecção das assíptotas no eixo real (centróide) vem:

- (a) $\sigma = -2.5$ (b) $\sigma = -5.5$ (c) $\sigma = -0.5$ (d) Outro resultado ✓

6. Considere um sistema com função de transferência $G(s) = K \frac{s+3}{s(s+2)(s^2+2s+4)}$ e o correspondente lugar de raízes directo. Então, sabe-se que o ângulo de partida θ no polo complexo vem:

- (a) $\theta = -22.1$ graus (b) $\theta = -49.1$ graus ✓ (c) $\theta = -56.1$ graus (d) Outro resultado

7. Considere um sistema com função de transferência $G(s)$ cujo lugar de raízes directo se encontra representado na Fig. 3. A partir do gráfico sabe-se que:

- (a) $G(s) = K \frac{s+1}{s^2(s+2)}$ ✓ (b) $G(s) = K \frac{s+1}{s^2(s+2)^2}$ (c) $G(s) = K \frac{s+1}{s^3(s+2)}$ (d) Outro resultado

8. Considere um sistema com função de transferência $G(s) = \frac{1}{s^2 + 2s + 2}$. Então, a resposta em frequência apresenta uma frequência de ressonância ω_r e um pico $|G(j\omega_r)|$:

- (a) A resposta em frequência não apresenta ressonância ✓
 (b) $\omega_r = 2$ rad/s, $|G(j\omega_r)| = 2$ dB
 (c) $\omega_r = 1$ rad/s, $|G(j\omega_r)| = 1$ dB
 (d) Outro resultado

9. Considere um sistema cuja resposta em frequência (gráficos de Bode) está representada na Fig. 4, onde o ganho se encontra em decibéis e a fase em graus. A partir do gráfico sabe-se que:

- (a) $G(s) = \frac{s+1}{s^2(s+2)}$ ✓ (b) $G(s) = \frac{s+1}{s^2(s+2)^2}$ (c) $G(s) = \frac{s+1}{s^3(s+2)}$ (d) Outro resultado

10. Considere um sistema com função de transferência $G(s) = \frac{K(s+1)}{s(s+2)(s+3)}$, onde $K > 0$ representa o ganho. Obtém-se uma margem de fase de 60 graus para um ganho:

- (a) $K = 10.64$
- (b) $K = 13.64$
- (c) $K = 12.64$
- (d) Outro resultado ✓

11. Considere um sistema com função de transferência (em malha aberta) $G(s) = \frac{1}{s(s+2)(s+3)}$. O sistema de controlo em malha fechada inclui ainda um algoritmo PID (Proporcional, Integral e Diferencial) e uma realimentação unitária. Pretende-se sintonizar um controlador PID através do método de Ziegler-Nichols closed-loop. Então, os parâmetros K (ganho proporcional), T_i (constante de tempo integral) e T_d (constante de tempo diferencial) vêm dados por:

- (a) $K = 14, T_i = 0.883, T_d = 0.121$
- (b) $K = 16, T_i = 1.083, T_d = 0.221$
- (c) $K = 18, T_i = 1.283, T_d = 0.321$ ✓
- (d) Outro resultado

Aluno N° _____ Nome:_____ Data: _____

Respostas:

	1	2	3	4	5	6	7	8	9	10	11
A											
B											
C											
D											

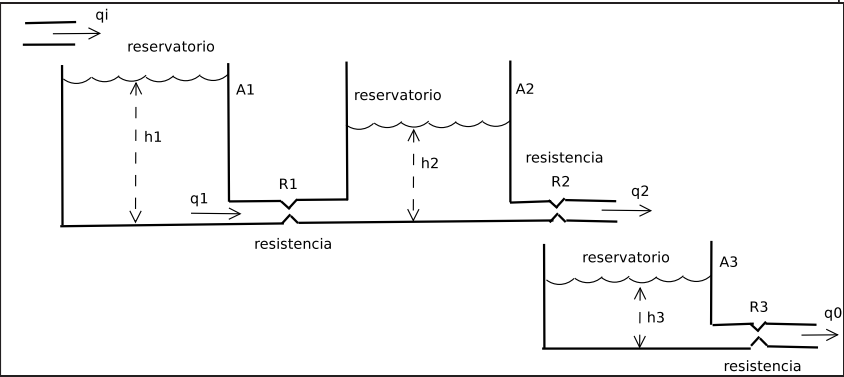


Figure 2: Sistema hidráulico

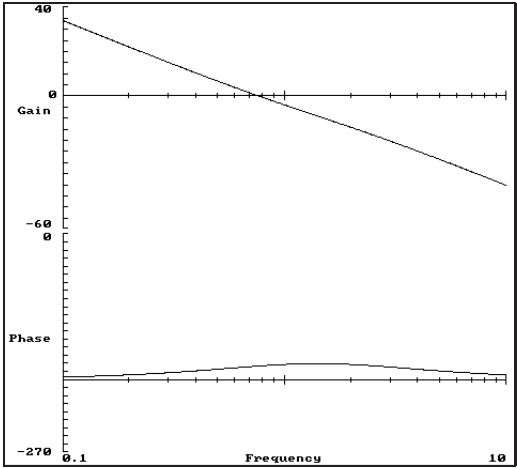


Figure 4: Resposta em frequência

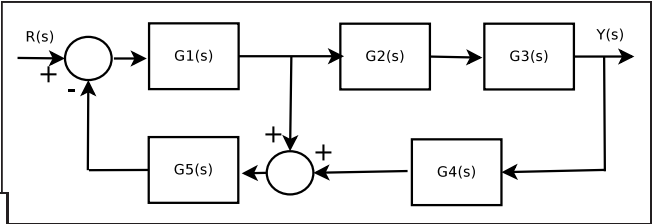


Figure 1: Diagrama de blocos

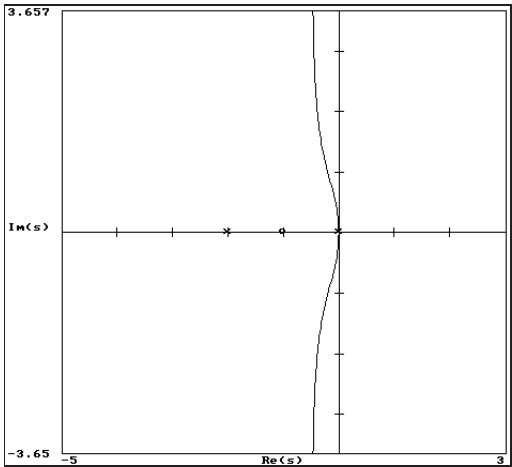
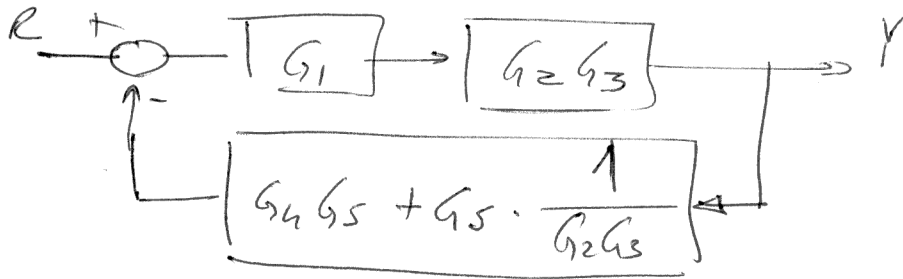
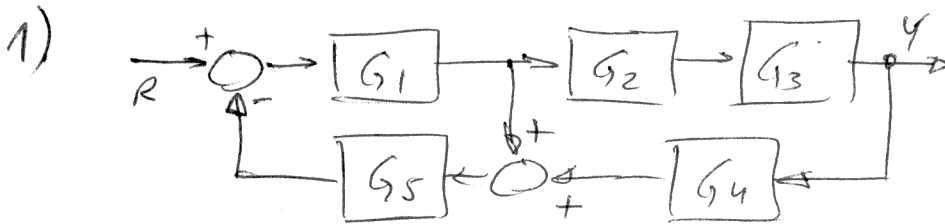
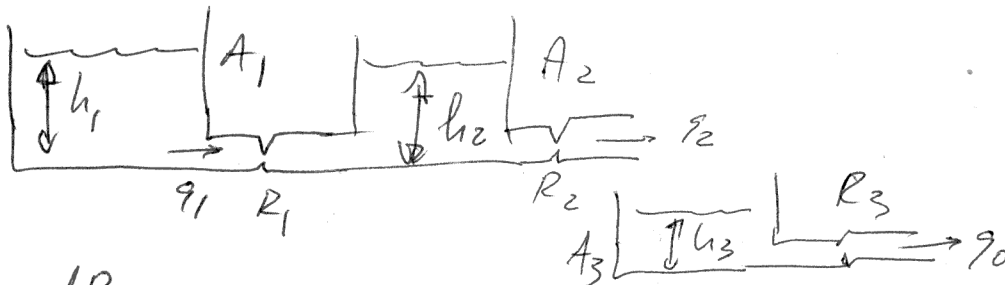


Figure 3: Lugar de raízes



$$\frac{Y}{R} = \frac{G_1 G_2 G_3}{1 + G_1 G_2 G_3 G_5 \left(G_4 + \frac{1}{G_2 G_3} \right)}$$

2) $\Rightarrow \dot{q}_1$



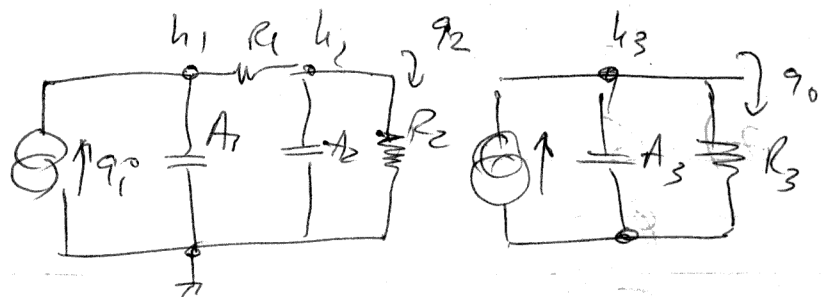
$$\dot{q}_1 = A_1 \frac{dh_1}{dt} + q_1,$$

$$\frac{h_1 - h_2}{R_1} = q_1,$$

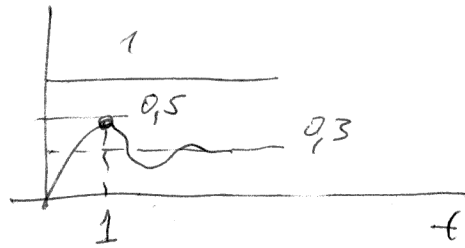
$$q_1 = A_2 \frac{dh_2}{dt} + q_2, \quad \frac{h_2}{R_2} = q_2$$

$$q_2 = A_3 \frac{dh_3}{dt} + q_0$$

$$q_0 = \frac{h_3}{R_3}$$



$$3) \quad \frac{c}{R} = \frac{k W_n^2}{s^2 + 2\zeta W_n s + W_n^2}$$

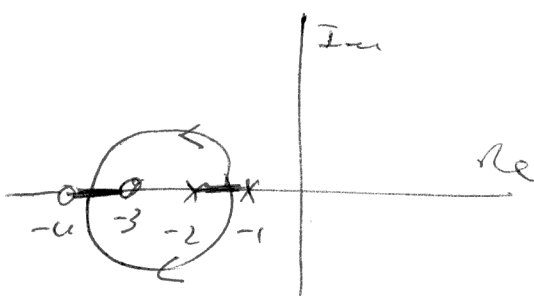


prico (convertido para steady state = 1) = $\frac{0,5}{0,3} = 1,666$

log: $\zeta = 0,128$; $W_n = 3,168$; $K = 0,3$

$$4) \quad G(s) = \frac{2}{s^2 + 2s + 9} \rightarrow \text{sistema tipo } 0 \Rightarrow e_{ss} = \infty$$

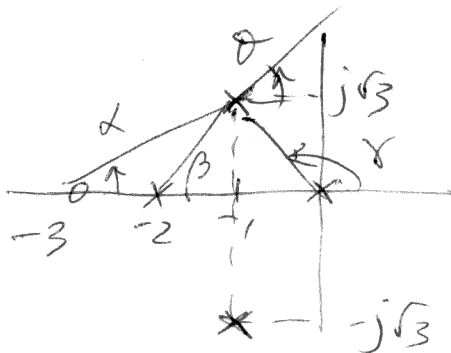
$$5) \quad G(s) = K \frac{(s+3)(s+4)}{(s+1)(s+2)}$$



Não tem assíntotas
logo não há centróide.

$$6) \quad G(s) = K \frac{s+3}{s(s+2)(s^2+2s+4)}$$

$$s = -1 \pm j\sqrt{3}$$



$$\alpha = \arctan \frac{\sqrt{3}}{2} = 40,9^\circ$$

$$\beta = \arctan \sqrt{3} = 60^\circ$$

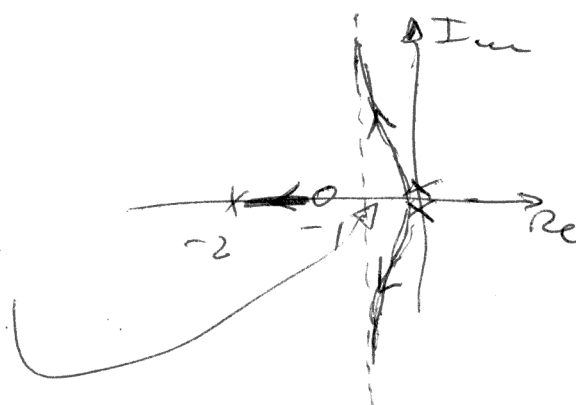
$$\gamma = 180 - \arctan \sqrt{3} = 180 - 60 = 120^\circ$$

$$40,9^\circ - (90 + 60 + 120 + \theta) = -180 \Rightarrow \theta = -49,1^\circ$$

$$7) \quad G(s) = K \frac{s+1}{s^2(s+2)}$$

$$\theta = \pm 90^\circ$$

$$\sigma = \frac{0+0-2+1}{3-1} = -\frac{1}{2}$$



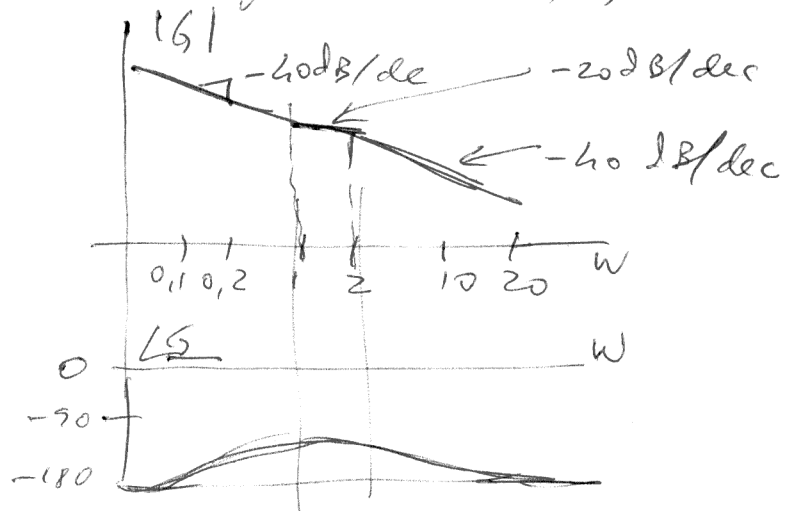
$$8) G(s) = \frac{1}{s^2 + 2s + 2} = \frac{1/2 \cdot 2}{s^2 + 2s + 2}$$

\uparrow \uparrow
 $2\zeta\omega_n$ ω_n^2

$$\left| \begin{array}{l} \omega_n = \sqrt{2} \\ 2\zeta\omega_n = 2 \end{array} \right| \left| \begin{array}{l} \omega_n = 1,414 \\ \zeta = \frac{1}{\sqrt{2}} = 0,707 \end{array} \right|$$

Não há overshoot na resposta em frequência.

$$9) G(s) = \frac{s+1}{s^2(s+2)}$$



$$10) G(s) = K \frac{s+1}{s(s+2)(s+3)}$$

$$\angle G = \arctan w - \left(\frac{\pi}{2} + \arctan \frac{w}{2} + \arctan \frac{w}{3} \right)$$

$$\pi + \arctan w - \left(\frac{\pi}{2} + \arctan \frac{w}{2} + \arctan \frac{w}{3} \right) = \frac{\pi}{3} \rightarrow w_1 = 3,02$$

$$\frac{K}{w} \sqrt{\frac{w^2+1}{(w^2+2^2)(w^2+3^2)}} = 1 \Leftrightarrow K \cdot 0,068 = 1 \Leftrightarrow K = 14,64$$

\uparrow
 $w = 3,02$

$$11) G(s) = \frac{K}{s(s+2)(s+3)} \rightarrow \frac{G}{1+G} \rightarrow Q(s)$$

$$Q(s) = s(s+2)(s+3) + K \Leftrightarrow s^3 + 5s^2 + 6s + K$$

s^3	1	6	\longrightarrow	$s^2 + 30 = 0 \Leftrightarrow s = \pm j\sqrt{6} \rightarrow \sqrt{6} = \frac{2\pi}{P_u} \rightarrow P_u = 2,565$
s^2	5	K		
s^1	$\frac{30-K}{5}$	$\longrightarrow K_u = 30$		
s^0	K			

loop ZN_{closed} loop: $K = 18; T_i = 1,28; T_d = 0,321$